

Uydu Görüntülerinden Bina Bölütleme ve Son-İşleme Yöntemlerinin Performansı

Building Segmentation on Satellite Images and Performance of Post-Processing Methods

Metehan Yalçın, Ahmet Alp Kindiroğlu, Furkan Burak Bağcı, Ufuk Uyan, Mahiye Uluyağmur Öztürk
Huawei Turkey R&D Center
Istanbul, Turkey

{metehan.yalcin,ahmet.alp.kindiroglu, furkan.burak.bagci,ufuk.uyan1, mahiye.uluyagmur.ozturk}@huawei.com

Abstract—Researchers are doing intensive work on satellite images due to the information it contains with the development of computer vision algorithms and the ease of accessibility to satellite images. Building segmentation of satellite images can be used for many potential applications such as city, agricultural, and communication network planning. However, since no dataset exists for every region, the model trained in a region must gain generality. In this study, we trained several models in China and post-processing work was done on the best model selected among them. These models are evaluated in the Chicago region of the INRIA dataset. As can be seen from the results, although state-of-art results in this area have not been achieved, the results are promising. We aim to present our initial experimental results of a building segmentation from satellite images in this study.
Index Terms—building segmentation, satellite images, supervised segmentation, post-processing, INRIA dataset

Öz—Uydu görüntülerine erişilebilirliğin artması ve bilgisayarlı görü algoritmalarının performanslarındaki artış ile birlikte araştırmacılar uydu görüntüleri üzerine de yoğun bir şekilde çalışmalar yapmaktadır. Uydu görüntülerinden bina bölütlemesi, şehir, tarım ve haberleşme ağlarının planlaması gibi birçok potansiyel uygulama için kullanılma potansiyeline sahiptir. Fakat, her bölge için edinilmiş uydu görüntülerinin olmayışı, herhangi bir bölgede eğitilmiş modelin genel özellikler kazanmasını önemli kılmaktadır. Bu çalışmada, Çin’de alınmış veri kümeleriyle modeller eğitilmiş, bu modeller arasından seçilen en iyi model üzerinde son-işlem yöntemleri uygulanmıştır. Bu modeller INRIA veri kümesinin Chicago bölgesinde test edilmiştir. Sonuçlardan da görüleceği üzere bu alandaki en iyi sonuçlar elde edilmemiş olsa bile sonuçlar ümit vericidir. Bu çalışmada, uydu görüntülerinden bina bölütleme deneylerinin ilk sonuçlarını paylaşmak amaçlanmıştır. **Anahtar Sözcükler**—bina bölütleme, uydu görüntüleri, denetimli semantik bölütleme, son-işlem, INRIA veri kümesi

I. GİRİŞ

Uydu görüntüleri üzerinden yeryüzü haritaları çıkartma uygulamaları hayatı kolaylaştırıcı işler yapmamızı sağlamaktadır. Şehir ve kırsal üzerinden alınmış görüntüler üzerinde çalışan bölütleme algoritmaları sayesinde yeryüzünde bulunan su havzaları, ormanlar, binalar ve daha birçok nesne tespit edilebilmektedir. Bu tespit yöntemleri sayesinde dağlık bölgelerdeki yollar ve yaşam alanlarını planlamak, kasaba ve köy gibi küçük yerleşim birimleri için yol, su, elektrik ve haberleşme ağlarının uygun noktalara yerleştirme işlemleri verimli bir şekilde gerçekleştirilebilmektedir. Bu sebeple uydu

görüntüleri üzerinden yeryüzü bölütleme problemi büyük önem arz etmektedir. Çalışmamızda farklı bölgelerden alınan uydu görüntülerinden bina tespiti üzerine yoğunlaşmıştır.

Son yıllarda yapılan çalışmalarda anlamsal (semantik) bölütleme problemi üzerinde çokça mesafe katedilmiştir. Semantik bölütleme işlemi, görüntü üzerinde bulunan her piksel için bir sınıf seçiminin yapıldığı bir bilgisayarlı görü algoritmasıdır. Yarı-denetimli ve denetimsiz öğrenme yöntemlerinde etiketsiz görüntülerden faydalanılabılırken, denetimli semantik bölütleme eğitiminde uygun bir şekilde etiketlenmiş görüntülere ihtiyaç duyulmaktadır. Uydu görüntüsü üzerinde bulunan her piksel için o pikselin hangi sınıfa ait olduğunu belirten etiket dosyaları bulunmaktadır. Bu çalışmada da bina bölütleme problemi üzerine çalışılmakta, veri kümesindeki bina sınıfları kullanılmaktadır. Her görüntünün içerisindeki binalara ait pikselleri ifade eden piksellere etiket dosyasında 1, binayı ifade etmeyen piksellere ise 0 değeri verilmiştir.

Burada karşılaşılan zorluklardan biri modelleri eğittiğimiz görüntüler ile test bölgesi uydu görüntülerinin yakınlaştırma seviyelerinin farklı olabilmesidir. Bu çalışmada farklı yakınlaştırma düzeylerinden alınmış görüntülerle eğitilmiş modellerin, INRIA [1] veri kümesi üzerindeki performansı incelenmiştir.

Semantik bölütleme modeli eğitimi için gerekli verilerin çokluğu, modelin geliştirilebilmesi adına önem arz etmektedir. Eğitim verisi sayısının artması modelin daha farklı görüntüler görmesine ve öğrenmesine yol açmaktadır. Bu çalışmada Çin’in bina oranı yüksek bölgelerinden alınmış görüntülerle denetimli semantik bölütleme modelleri eğitilmiş ve aynı model INRIA veri kümesi içerisinde bulunan "Chicago" şehrinde test edilmiştir. Bahsettiğimiz gibi denetimli öğrenme yönteminde veri sayısının çokluğu işe yarıyorken, veri kümesinin içerisinde bulunan veri dağılımlarının benzerliği de önemli olduğu görülmüştür. Binaların yoğun olarak bulunduğu bir şehir bölgesi ile tarımsal arazi bölgesi bir arada eğitildiğinde modele bağlı

olarak öğrenememe sorunları yaşanmıştır. Alan farklılığından yaşanan bu sorunlar öğrenme transferi [2] yöntemleriyle çözülebilmektedir. Bu çalışmada sadece bina sıklığının yoğun olduğu bölgelerle eğitim yapıp test edilmiştir.

II. LİTERATÜR ÖZETİ

Görüntüler üzerinde sınıflandırma, obje bulma, anlamlandırma (image-captioning), görüntüler arası transfer ve yeni görüntüler üretme gibi işlemlerde başarılı pek çok bilgisayarlı görü yöntemi vardır. Semantik bölütleme de bilgisayarlı görünün önemli kullanım alanlarından birisidir. Semantik bölütleme işleminde piksel seviyesinde tahminler yapılmaktadır. Zaman içerisinde semantik bölütleme için birçok yöntem önerilmiştir. FCN [3] semantik bölütleme problemine uygulanan ilk çözümlerden biridir. FCN mimarisinde birçok evrimsel ve havuzlama (pooling) katmanla görüntünün boyutu 1/32 katına küçültülmüş ve ters-evrimsel katmanları ile görüntü gerçek boyutuna getirilerek piksel bazında tahminler yapılmıştır.

Bahsetmemiz gereken bir diğer önemli mimari ise U-Net [4] modelidir. Bu çalışmada U-Net'in geliştirilmiş versiyonu deneylerde kullanılmaktadır. U-Net mimarisinde, FCN e göre iki önemli değişiklik göze çarpmaktadır. FCN mimarisi sırasıyla aşağı ve yukarı örnekleme yaparak gerçek görüntü çözünürlüğünü elde etmekte olup, U-Net yapısı bunu kodlayıcı ve kod çözücü yapılarını simetrik olarak kullanarak yapmakta ve kod çözücü yapısında çoklu kanal yapısı kullanarak kodlayıcı kanalının katmanlarındaki semantik bilgiyi kod çözücü kanalın ilgili kanallarına aktarabilmeyi başarmıştır. Bu şekilde son katmandaki semantik bilgi ilk katmandakilerle birlikte güçlendirilmiştir. U-Net++ [5] çalışması ile bu yapı iyileştirilmiş, kodlayıcı ve kod çözücü kısımları arasında atlama-bağlantısı (skip-connection) yapısı kullanılmıştır. Atlama-bağlantısı yapısı ile ilk katmanlardaki semantik bilginin ileriki yukarı-örnekleme katmanlarına aktarımı sağlanarak güçlendirilmesi amaçlanmaktadır. Günümüzde görüldüğü üzere medikal görüntülerde kullanılmak için tasarlanan bu mimari, uzaktan algılama dahil birçok alanda önemli başarımlar elde etmiştir. Bu çalışmada U-Net++ modelinden faydalanılarak eğitilen modeller, INRIA veri kümesinde test edilmiştir.

DeepLab [6] mimarisi de yukarıda bahsettiklerimiz gibi evrimsel ağları kullanan bir başka yöntemdir. Bu yöntemde birkaç yeni özellik eklenmiştir. Delikli (atrous) evrimsel diğer ismiyle genişletilmiş (dilated) evrimsel denilen yeni bir yöntemle daha büyük bir görüntü alanı, daha az parametre kullanarak evrimsel işlemi yapılmış ve işlem yükü azaltılmıştır. DeepLabV1 geliştirmesinde ise aşağı-örnekleme ile kaybedilen uzamsal çözünürlük daha az aşağı-örnekleme yapılarak bunun yerine delikli evrimsel filtrelerinin büyütülmesi ile çözülmüş, aynı zamanda tamamen bağlı koşullu rasgele alan (fully connected conditional random field) ile benzer pikseller kullanılarak sınıf tahminine

katkıda bulunmuşlardır. DeepLabV2 [7], DeepLabV3 [8] ve son olarak bu çalışmada da kullanılan DeepLabV3+ [9] yöntemlerinde de Delikli uzamsal piramit (Atrous Spatial Pyramid) havuzlama ile farklı örnekleme sıklığı ile elde edilmiş çıktılarının birleştirilmesiyle sonuçlar iyileştirilmiş, daha keskin nesnelerin kestirimi için delikli evrimsel işlemi U-Net'de bulunan kodlayıcı ve kod çözücü mimarisine adapte etmişlerdir. Bu sayede son modelde daha keskin sınırların bulunduğu ve semantik bilgiye daha iyi bir performansla erişilebildiği gözlenmiştir. Li ve arkadaşlarının [10] çalışmasında DeepLabV3+ [9] modelini bina bölütleme için kullanmış, ayrıca bu model sonuçlarını iyileştirmek için aktif öğrenme, artımlı öğrenme ve transfer öğrenimi yöntemlerinin etkilerini gözlemlemiştir.

Uydu görüntülerinden bina bölütleme problemi yakın süre içerisinde birçok araştırmacının ilgisini çekmektedir. Bu çalışmalarda derin öğrenme metodlarını kullananlar bulunduğu gibi, destek vektör makinesi (SVM) metodunu kullanarak bina bölütleme yapıldığı çalışmalar da bulunmaktadır [11]. Vakalopoulou ve arkadaşlarının çalışmasında INRIA veri kümesinden alınmış yüksek çözünürlüklü uydu görüntüsünü önce AlexNet [12]'e beslemiş, FC (Fully Connected) yapısının 7. katman çıktısını SVM sınıflandırıcısını eğitmek için özellik vektörü olarak kullanmışlardır. Eğitilen SVM [13] modeli çıktısı MRF (Markov Random Field) tabanlı modelle rötuş (post processing) işlemi yapılarak sonuçlar iyileştirmiştir. Fakat bina bölütleme problemi görüntüler arasında ölçek faktörü farklılığı, gölge oranı, binaya benzeyip bina olmayan kompleks objelerin varlığı sebebiyle klasik görüntü işleme yöntemleriyle çözülemeyecek kadar zor bir problemdir. Bu sebeple derin öğrenme algoritmaları kullanılarak yakın zamanda pek çok çalışma gerçekleştirilmiştir.

Yang ve arkadaşlarının [14] yaptığı çalışmada farklı seviyedeki özellik çıktılarını kullanan dikkat (attention) mekanizmasını kullanan yeni bir mimari DenseNets ile bina bölütleme çalışmaları yapılmıştır. Bittner ve arkadaşları [15] ise yukarıda bahsettiğimiz FCN [3] yapısını kullanarak yüksek çözünürlüklü uydu görüntüleri ile aynı görüntünün yükseklik bilgilerini taşıyan sayısal yeryüzü modeli (DSM) verilerini kullanarak bina bölütlemesi yaptı. Marcu ve arkadaşları [16] çok-aşamalı çoklu-görev mimarisi ile bir dalında bölütleme yaparken diğer regresyon dalında lokalizasyon yaparak çoklu dal kullanımının bölütleme sonuçlarını iyileştirdiğini gösterdi.

Uzaktan algılama görüntülerinde bina bölütleme ile ilgili birçok karşılaştırma makalesi de bulunmaktadır [17], [18], [19], [20]. Yi ve arkadaşlarının [18] yaptığı çalışmada U-Net modeline göre daha az sonuç çıkarma süresine sahip, az parametreyle daha iyi sonuçlar veren DeepResUnet modelini geliştirdi ve bu modeli DeepConvNet [21], FCN, UNET , Segnet [22] modellerini kullanarak bina bölütleme performansları karşılaştırması yaptı. Erdem ve diğerleri [19] bina bölütlemesine uygun model bulabilmek için U-Net modelini birkaç farklı öznetelik çıkarıcı mimarileriyle eğiterek

performanslarını karşılaştırdı, aynı zamanda da çoğunluk oylama son işlem yaklaşımı uygulayarak sonuçların iyileşip iyileşmediğini test etti.

Ayrıca bina bölütleme modellerinin performansını geliştirmek için kullanılabilir veri artırma yöntemlerinin karşılaştırıldığı çalışmalar da bulunmaktadır [23], [24]. Illarionova ve arkadaşları [24] eğitim veri kümesini arttırmak için yeni bir obje tabanlı veri artırma yöntemi geliştirdi. Bu yöntemde Hedef piksellerini ile temiz arka plan görüntülerine sahip görüntüye aktararak elde bulunan hedef pikseli görüntü sayısını arttırdı. Bu metodu birçok bölgede test ederek tutarlılığını kontrol ettiler. Li ve arkadaşlarının çalışmasında ise [25]2000 li yıllardan bu yana yapılmış bütün bina bölütleme ve tespit çalışmalarını araştırmı ve makalelerinde veri artırma yöntemleriyle birlikte sunmuşlardır. Bu çalışmaya göre bina tespitleri, önceden edinilmiş geometrik, spektral ve içerik bilgileri ile yapılan son-işlem yöntemleri ile iyileştirilebilmiştir [26]. Spektral bilgi varsa NFBI (normalized difference vegetation index - NDVI) veya HSV renk uzayındaki renk tonu bilgisi kullanarak toprak bölgelerdeki yanlış alarmlar temizlenmiştir. Geometrik analiz kısmında ise tahminler içerisinde bağlı bileşen analizi yapmışlardır. Son olarak da içerik bilgisi ile son-işlem yaparken sahnedeki gölgeler tespit edilmiş, gölge bulunmayan yerdeki bina tespitleri elimine edilmiştir.

INRIA veri kümesi ABD ve Avusturya ülkelerinin birçok şehirden alınmış yüksek çözünürlüklü uydu görüntülerinden oluşmuş, bina sınıflarının etiketlerinin bulunduğu bir veri kümesidir. Çalışmamızda bu veri kümesinin Chicago bölgesinde test yapılmıştır. Eğitim veri kümesi ise Çin üzerinden alınmış yüksek çözünürlüklü, bina yoğunluğunun sık olduğu alanlardan oluşmaktadır. HWLC-18 ve HWLC-16 veri kümesi Huawei tarafından oluşturulmuştur [27]. Bu veri setleri sırasıyla 0.6 ve 2.4 metre çözünürlüğe sahip olup openstreetmap'e göre seviyeleri Seviye-18 ve Seviye-16 olarak kabul edilmektedir.

Bu makalede U-Net++ ve DeepLabv3+ mimarilerini, farklı kodlayıcı modelleri kullanarak eğitimler düzenlenmiş ve modeller oluşturulmuştur. VGG-16 [28], EfficientNet [29], Resnet [30] and MobileNet [31] yapılarından öznelik çıkarıcı olarak faydalanılmıştır. Test adımı sırasında uygulanan son-işlem yöntemlerinin model performansına etkileri incelenmiştir.

III. YÖNTEM

Uydu görüntüleri üzerinden bina tespiti yapmak amacıyla bilgisayarlı görü uygulamaları sıkça kullanılmaktadır. Bu çalışmada temel olarak U-Net++ ve DeepLabV3+ modeli temel alınmıştır. Bu modeller farklı öznelik çıkarıcı ağlar kullanılarak eğitilmiş ve sonuçları karşılaştırılmıştır.

Kentsel olarak gelişmiş bir bölgeden alınan uydu görüntüleri geniş bir alan kaplamaktadır. Uzamsal olarak yüksek

çözünürlüklü bu resimler model eğitiminde kullanabilmek için kırılmıştır. 512x512 boyutunda kırılmış kırmızı-yeşil-mavi (RGB) kanallı resimler ile yine aynı boyuttaki etiket dosyaları oluşturulmuştur. Bu etiket dosyaları bina ve bina olmayan sınıfları olarak iki farklı sınıf etiketinden oluşmaktadır. Eğitim sırasında veri çeşitliliğinin artırılması için veri artırma görüntü işleme metodları kullanılmaktadır. Kullandığımız öznelik çıkarıcı mimarileri en iyi ağırlıklarını Imagenet [32] veri kümesi üzerinde eğitilmiş ve bu veri kümesinin ortalama ve standart sapma değerlerini kullanmışlardır. Bu sebeple eğitimin ilk basamağında görüntüler ön-işleme yapılarak uydu görüntüleri ortalama ve standart sapma değerleri Imagenet ile aynı seviyeye getirilmiştir. Şekil 1 de Resnet mimarisi ön-işleme adımı öncesi ve sonrası görüntü gösterilmiştir.

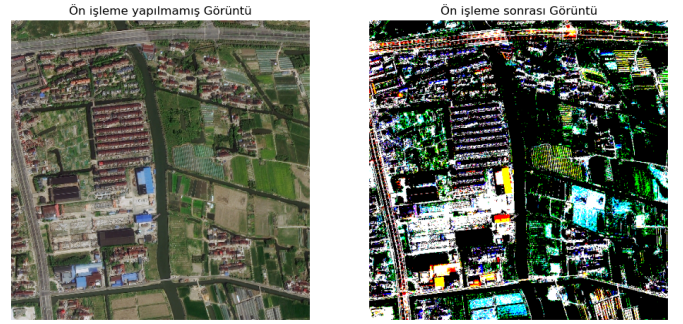


Fig. 1. Görüntü Ön İşleme Adımı

Denetimli semantik bölütleme yöntemlerinde veri çeşitliliği ve sayıca fazlalığı modelin genel öznelikler öğreniminde önemli yer kapsamaktadır. Yüksek çözünürlüklü görüntülerden kırılarak elde ettiğimiz eğitim veri kümesi her eğitim basamağında grup boyutunca (batch size) çeşitli veri artırma yöntemleri uygulanmaktadır. Bu veri artırma yöntemi seçimi rastgele yapılmaktadır. Çubuk ve arkadaşlarının [33] çalışmasında veri artırma yönteminin semantik bölütleme üzerindeki etkisini ortaya koymuşlardır. Çalışmamızda da benzer bir yöntemden faydalanılmış ve veri artırma sağlanmıştır. Eğitim sırasında grup boyutu 8 olarak belirlenmiştir. Grup içerisindeki her görüntü için liste halinde bulunan veri artırma yöntemlerinden rastgele biri uygulanmış, uygulanıp uygulanmayacağı da bir olasılık yüzdesine bağlanmıştır. Döndürme, Afin dönüşüm, Transformasyon, Görüntü Renk Değerleri Tersine Çevirme, Rastgele Kontrast, Rastgele Parlaklık ekleme yöntemleri *albumentations* [34] kütüphanesi kullanılarak uygulanmış, eğitim basamak sayısı arttıkça döndürme ve diğer transformasyonların derecesi yükseltilmiş ve daha etkili uygulanması sağlanmıştır.

Bu çalışmada temel olarak U-Net++ ve DeepLabV3 modelleri kullanılmaktadır. U-Net++ mimarisi isminden de anlaşıldığı üzere U harfi şeklinde evrimsel sinir ağlarından oluşmaktadır, bu yapı otomatik-kodlayıcı (auto-encoder) yapılarından esinlenilerek tasarlanmıştır. U-Net++ yapısının ilk versiyonlarına teme farkı atlama-

bağlantısı (skip-connection) yapısı kullanarak semantik bilginin bütün katmanlar arasında yayılımını sağlamaktadır. Farklı öznetelik çıkarıcılar kullanılarak U-Net++ modeli performans değerlendirmesi yapılmıştır. Bunlardan ilki VGG-16 mimarisidir. VGG-16 bir çeşit evrimsel sinir ağı (CNN) dir ve ağırlık içeren 13 adet evrişim katmanı ve 3 adet yoğun sinir ağından oluşmasından dolayı VGG-16 ismini almıştır. VGG-16 yapısını diğer öznetelik çıkarıcılardan ayıran özelliği, bütün katmanlarında 3x3 evrişim ağı bulundurmasıdır. Daha küçük ve sabit 3x3 boyutu evrişim filtreleri kullanmaları AlexNet'e göre daha az sayıda parametre kullanmalarına aynı zamanda daha iyi performans kazanmaları ile sonuçlanmıştır. Yapısında 5 evrişim katmanı bulunmakta bu katmanlar arasında da havuzlama yapılmaktadır. Son katmanda ise 3 adet yoğun sinir katmanı (Dense layer) kullanarak sınıflandırma problemlerinde kullanılmak üzere üretilmiştir. Çalışmada öznetelik çıkarıcı olarak kullanıldığı için son katman kullanılmamakta, ara katmanların ürettiği aktivasyonlar öznetelik olarak kullanılmaktadır.

Modellerdeki parametre çokluğu işlemsel yük getirmektedir. Daha düşük parametrelilik modeller elde etmek için boyutlar azaltılıyor, bu halde öznetelikleri kaybetmemek için çözünürlük ve genişlik büyütülmeye çalışılıyor fakat her mimaride bu ayrı ayrı yapılabilmektedir. EfficientNet yapısında ise daha az parametre ile hem derinlik hem genişlik hem de çözünürlükte artış sağlayıp verimli bir şekilde tespit yapılabilmesini sağlayan bir yapı geliştirilmiştir. Bunu gerçekleştirebilmek için hem derinlik hemde nokta tabanlı evrişim yapılmaktadır. Bu yöneme birleşik katsayı (compound coefficient) yöntemi denilmektedir.

ResNet mimarisi de çalışmamızda kullanılan bir diğer önemli öznetelik çıkarıcı yapıdır. Bu yapının temel çıkış noktası VGG-16 gibi evrişimli nöral ağ yapılarındaki gradyan tükenmesi (vanishing gradient) probleminin önüne geçmektir. Bu sebeple atlama-bağlantısı (skip-connection) yapılarını kullanarak katmanlar arası bağlantı sağlayarak gradyanların sıfırlanma problemlerine çözüm getirmişlerdir.

Öznetelik çıkarıcı mimarilerin performansını değerlendirebilmek için uydu görüntüleri bu yapıların girişine vererek, içerdikleri katmanların çıktıları görselleştirilmiştir. Şekil 2 de VGG-16 öznetelik çıkarıcısının sırasıyla ilk 5 katman çıktısı görselleştirilmiştir, Şekil 3 de Resnet-18 ve Şekil 4 aktivasyonları görselleştirilmiştir. Buradan da görüldüğü üzere VGG-16 modeli bina yüzeylerini daha belirgin şekilde ilk katmanlarında bulabilmekte ve bunu son katmanlara aktarabilmektedir. EfficientNet modeli keskin hat bulma konusunda VGG-18 den geri kalmasına karşın ResNet-50 ye göre daha küçük detaylı ortaya çıkarabilmiştir.

ResNet-50 modelinin alıcı alanı (receptive field) 483, VGG-16 ağına da 212 dir. Alıcı Ağına gördüğü alanın darlığı bu problemde daha iyi performans sağladığı düşünülebilir.

Bu çalışmada 3 farklı kayıp fonksiyonu denemesi

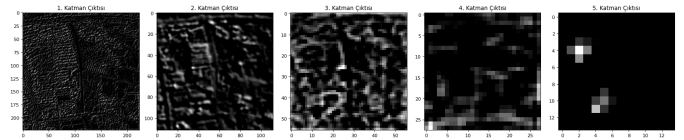


Fig. 2. VGG-16 öznetelik çıkarıcısı katman çıktıları

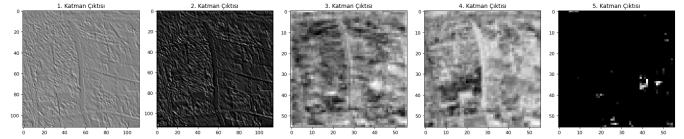


Fig. 3. Resnet-50 öznetelik çıkarıcısı katman çıktıları

yapılmıştır. Bunlardan ilki,

A. Dice Kayıp

Dice kayıp fonksiyonu medikal görüntü bölütleme problemlerinde yaygın olarak, veri dengesizliği bulunan eğitim zorluklarında sıkça kullanılan, Dice katsayısından esinlenilerek oluşturulmuş bir kayıp fonksiyonudur. Çapraz Düzensizlik (Cross Entropy) fonksiyonuna sıkça tercih edilme sebebi veri içerisindeki sınıf dağılımının dengesiz olmasından dolayıdır.

B. Focal Tversky Kaybı

Tversky Kaybı [35] dice kaybında da bulunan DP (doğru pozitif) ve YN (yanlış negatif) terimlerine ağırlıklandırma verilmesi ile elde edilmiştir. Beta terimi 0,5 olarak seçildiğinde Dice kaybı ile aynı duruma gelmektedir. Focal Tversky kaybı'nda ise, zor örnekleri çözümleyebilmek için bazı katsayılar eklemiştir [36].

C. Ağırlıklandırılmış Dice Kaybı

* Ağırlıklandırılmış Dice kaybı ise Dice kaybını çoklu etiket şeklinde kullanırken her sınıfın kayba etkisini değiştirir. Bu şekilde modelin belirli bir sınıfı daha iyi öğrenmesini sağlayarak kaybın azaltmasına yol açar.

Bu çalışmada test sırası görüntü arttırımı yöntemleri kullanılarak test zamanı bölütleme performansı testleri yapılmıştır. Bu kütüphane içerisinde yatay döndürme, dikey döndürme, istenilen açıda döndürme, çözünürlük değiştirme gibi birçok görüntü manipülasyon teknikleri bulunmaktadır. Son-İşleme adımındaki temel mantık görüntüyü farklı açılar ve durumlarda test ederek bu test sonuçlarının birleştirilmesi ve sonuca etkisinin gözlenmesidir. Bu çalışmada farklı test zamanı veri arttırımı yöntemleri deneyerek sonuçları Tablo1 de görüldüğü gibi eklenmiştir. Yöntem-1 de yapılan

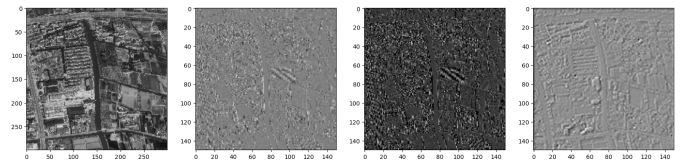


Fig. 4. EfficientNet-B0 öznetelik çıkarıcısı katman çıktıları

test zamanı veri arttırımında *Çarpma*, *yatay döndürme*, *çözünürlük değiştirme*, ve *istenilen açıda döndürme* işlemleri uygulanmıştır. Bütün yapılan veri arttırımlarını I da görebilirsiniz. *İstenilen açıda döndürme* işlemi görüntüyü belirlenen derecelerde saat yönünde döndürme işlemidir. *Çözünürlük değiştirme* işleminde ise görüntü belirlenen değerlerde büyütülüp küçültülmektedir. *Çarpmada* ise görüntü üzerindeki her piksel bu değerler ile çarpılarak yeni görüntüler elde edilmektedir. Son olarak *yatay döndürmede* ise görüntü x eksenini doğrultusunda 90 derece döndürülmektedir.

TABLO I
SON-İŞLEME YÖNTEMLERİ

Yöntem Adı	Yatay Döndürme	İstenilen Açıda Döndürme	Çözünürlük Değiştirme	Çarpma
Yöntem-1	+	0, 180	[1]	[0.9,1,1,1]
Yöntem-2	+	0, 180	[0.25,0.5,0.75,1]	[0.9,1,1,1]
Yöntem-3	+	90	[0.5,0.75,1]	-

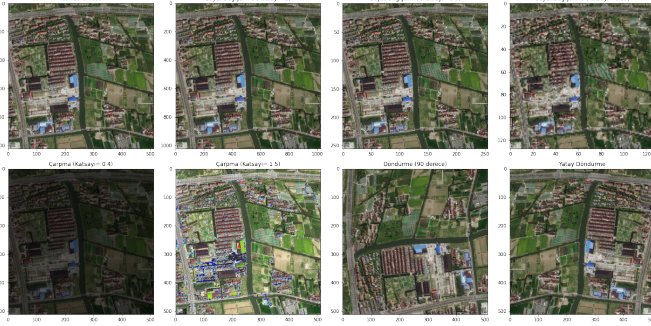


Fig. 5. Test Zamanı Veri Arttırım İşlemleri Örnekleri

IV. UYGULAMA DETAYLARI, DEĞERLENDİRME KRİTERLERİ VE DENEYLER

A. VERİ KÜMESİ

Eğitim veri kümesi olarak Huawei tarafından Çin'in şehirleşmenin yoğun olduğu bölgelerinden alınan uydu görüntüleri eğitim setimizi oluşturmaktadır. HWLC-16 ve HWLC-18 veri kümeleri sırasıyla 2.4 ve 0.6 metre çözünürlüğe sahip olmakta olup test setinde kullanılan INRIA veri kümesinin Chicago verilerinin çözünürlüğünden (0.3 metre) farklıdır. Uydu görüntüleri ile ilgili önemli kriterlerden biri yakınlaştırma seviyeleridir. Bu çalışmada yapılan eğitimlerde Seviye 18 ve Seviye 16 veri kümeleri kullanılmıştır. Bu veri kümeleri sırasıyla piksel başına 0.6-metre ve 2.4-metre çözünürlüğe sahiptir. Görüntüler içerisinde bulunan objeler 21 sınıf olacak şekilde etiketlenmişlerdir. Çalışmamızda sadece bina etiketleri kullanılmış ve diğer cisimler bina-değil olarak kabul edilmiştir. Ayrıca modelin genel öznelikler öğrenip öğrenmediğini test etmek için INRIA veri kümesinde bina bölütleme yapılmaya çalışılmıştır. Amerika'nın çeşitli şehirlerinden alınmış görüntüler 0.3-metre çözünürlüğe sahiptir. Bu çalışmada sadece INRIA veri kümesinin "Chicago" şehri baz alınmıştır.

B. Uygulama Detayları

Yapılan deneylerde bazı parametreler farklılık göstermekle birlikte ortak tutulan değerler de bulunmaktadır. Deneylerde grup boyutu 8, öğrenme hızı 0.0001 olarak ayarlanmış, optimizasyon yöntemi olarak da ADAM [37] baz alınmıştır. Bunların haricinde kayıp fonksiyonu denemeleri neticesinde her deney için ağırlıklandırılmış dice kayıp fonksiyonu kullanılmıştır. Bölütleme proleminde sıkça kullanılan metrik olan kesleştirilmiş bölgeler ölçütleri (intersection over union, IoU) metriği ile değerlendirilme yapılmıştır. Jaccard Index yani IOU uygulanarak bina sınıfına ait IoU ve ortalama IoU(mIoU) değeri hesaplanmıştır. Eğitimlerimiz Geforce Nvidia 2080TI kartı kullanılarak yapılmış, her model en fazla 20 basamak olacak şekilde eğitilmiştir.

C. Değerlendirme Kriteri

Değerlendirme metriği olarak IoU (Intersection over Union) kullanılmıştır. Doğruluk hesabı yapılırken IoU olarak bilinen Jaccard Index'ten faydalanılmıştır. Bu index, Denklem 1'de görüldüğü gibi hesaplanmaktadır. DP (Doğru Pozitif), YP (Yanlış Pozitif), DN (Doğru Negatif) değerleri sırasıyla hedefin doğru tahmin edildiği, hedef olduğu yönünde tahmin yapıp yanlış olan, ve hedef olmadığı yönünde tahmin yapıp aslında hedef olan piksel durumlarını ifade etmektedir. Bunların oranı bize hedef olarak tahmin ettiğimiz bölgenin aslında ne kadarının doğru tespit edildiğini belirtir.

$$IoU = \frac{DP}{DP+YP+DN} \quad (1)$$

D. Deneyler

Bu çalışmanın temel hedeflerinden biri bina tespiti yaparken beraberinde modellerin başka ülke ve bölgelerdeki performansları da incelenmek istenmiştir. Eğitimler Çin de bulunan yoğun bina içeren şehir bölgelerinden alınmış, 0.5-metre ve 2-metre çözünürlükte görüntülerle yapılmış, bu modeller ise INRIA veri kümesinin Chicago'dan alınmış 0.3-metre çözünürlükte elde edilen görüntülerde test edilmiştir.

Deneylerin ilk kısmında U-Net++ ve DeepLabV3+ modeli tablo ?? de görüldüğü gibi 0.6 ve 2.4-metre çözünürlükteki verilerle eğitilmiş modellerin hedef bölgedeki test sonuçları verilmiştir.

TABLO II
FARKLI DERİN ÖĞRENME MİMARİLERİ KULLANILARAK EĞİTİLMİŞ MODELLERİN INRIA VERİ KÜMESİNDEKİ PERFORMANS TABLOSU.

Model	Öznelik Çıkarıcı	mIoU	Bina IoU	Trained Zoom Level
Unet++	VGG-16	0.701	0.811	HWLC-18 (0.6m)
Unet++	VGG-16	0.582	0.716	HWLC-16 (2.4m)
Unet++	EfficientNet-B3	0.642	0.765	HWLC-18 (0.6m)
DeepLabV3++	EfficientNet-B5	0.569	0.709	HWLC-18 (0.6m)
DeepLabV3++	EfficientNet-B3	0.491	0.206	HWLC-16 (2.4m)
DeepLabV3++	Resnet50	0.621	0.443	HWLC-16 (2.4m)
DeepLabV3++	Resnet18	0.644	0.489	HWLC-16 (2.4m)
DeepLabV3++	Resnet34	0.631	0.502	HWLC-16 (2.4m)
DeepLabV3++	Mobilenetv3	0.576	0.452	HWLC-16 (2.4m)

Tablo II üzerinde yapılan deneyler görülmektedir. Deneylerde görüldüğü üzere U-Net++ mimarisi ile VGG-16 öznelik çıkarıcı en iyi sonuçları vermektedir. U-Net++

ile yapılan farklı yakınlaştırma seviyeleri denemelerinden görüleceği üzere yüksek çözünürlüğe sahip 0.6-metre çözünürlüklü verilerle yapılan eğitimlerde 2.4 ile yapılan verilerle yapılanaya göre daha iyi sonuçlar elde edilmiştir. Benzer çözünürlüğe veya daha yüksek çözünürlüğe sahip bir veri kümesinin hiç görmediği benzer karakteristiğe sahip bölgelerde de başarılı olabileceğini görmüş bulunmaktayız. Buradaki deneylerden bir diğer çıkarımımız da U-Net++ modelinin DeepLabV3+ dan daha olumlu sonuçlar vermesidir.

DeepLabv3+ metodu Resnet-18 öznetelik çıkarıcı ile en iyi sonuçları verdiği görülmektedir. DeepLabV3+ modelini Resnet-18 öznetelik çıkarıcı ile kullanıldığında, Resnet mimarisi derinliği arttıkça performansın olumsuz etkilendiğini Tablo III üzerinden görebilmekteyiz.

TABLO III
DEEPLABV3+ İLE KULLANILAN FARKLI RESNET MODELLERİ İLE PERFORMANS TABLOSU

Model	Öznetelik Çıkarıcı	mIoU	Bina
DeepLabV3++	Resnet-18	0.644	0.489
DeepLabV3++	Resnet-34	0.631	0.502
DeepLabV3++	Resnet-50	0.621	0.443

Aynı zamanda yaptığımız bir diğer deneyde ise kayıp fonksiyonlarının etkisini inceledik. Bilindiği üzere Focal Tversky kayıp fonksiyonu Dice kayıp fonksiyonunu kullanarak elde edilen bir kayıp fonksiyonudur. Bu kayıp fonksiyonunun Dice kaybından farkı detaylı örnekleri öğrenebilmek için γ ve α terimleri eklemiş olmakta ve bu geliştirmenin deneyde de elde ettirdiği iyileştirmeyi görmekteyiz. Burada deneylerde Focal Tversky kaybı içinde α değeriyle oynanmış ve en iyi değer olarak 0.4 seçilmiştir. Fakat Dice kaybı kullanırken her sınıf için ayrı bir ağırlık verildiğinde bunun etkisinin en iyi olduğu gözlenmiştir.

TABLO IV
BÖLÜTLEME PERFORMANSINA KAYIP FONKSİYONLARININ ETKİSİ

Model	Öznetelik Çıkarıcı	mIoU	Bina IoU	Loss Function
DeepLabV3++	Resnet-50	0.473	0.166	Dice Kaybı
DeepLabV3++	Resnet-50	0.560	0.326	Focal Tversky Kaybı
DeepLabV3++	Resnet-50	0.621	0.443	Ağırlıklandırılmış Dice Kaybı

Çalışmaların son kısmında model çıktılarının üzerinde test zamanında veri arttırımı yapılması performansı attırdığını gösteren çalışmalar olmuştur. Bu çalışmada da birkaç farklı veri arttırımı yöntemi test zamanında kullanılmış ve test sonuçlarına etkisi gözlenmiştir. 6 farklı deneme yapılmış olup bazılarının açıklaması tablo V de verilmiştir.

Tablo V da görülen metodlardan sadece Method-3 de Çarpma veri arttırımı yapılmamış olup Method-1 ve Method-2 de yapılmıştır. Ayrıca sadece $\text{çözünürlük değiştirme}$ işlemlerinin yapıldığı test zamanı veri arttırmaları da yapılmış olup bunların başarımı ölçülmüştür. Görüldüğü üzere $\text{çözünürlük değiştirme}$ yapılırken veri boyutunun arttırılması

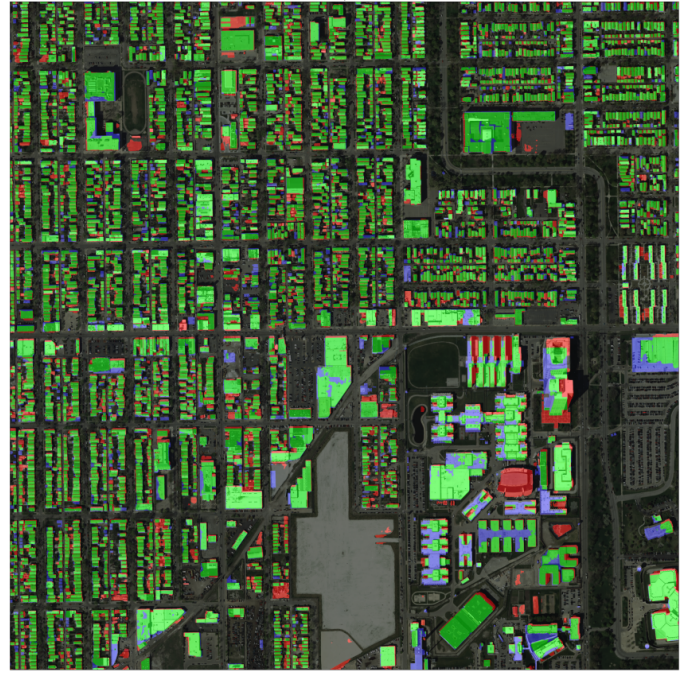


Fig. 6. INRIA Chicago Veri kümesi 8. test görüntüsü tahmin sonucu

olumlu etki etmezken azaltılması olumlu etki etmektedir. Burada bir ayrı detay olarak Çarpma veri arttırımı işleminin çıkarılması test zamanı veri arttırımı performansını arttırmıştır. Tablodan görüleceği üzere ilk baştaki sonuçlara göre 3% ilerleme kaydedilmiştir.

TABLO V
UNET++ VE VGG-16 ÖZNETELİK ÇIKARICISI KULLANILARAK YAPILMIŞ SON-İŞLEM DENEYLERİ

Veri Arttırım Yöntemi	mIoU	Bina IoU	Eğitim Veri Kümesi Çözünürlük Seviyeleri
-	0.701	0.811	HWLC-18 (0.6m)
Yöntem-1	0.693	0.809	HWLC-18 (0.6m)
Çözünürlük Değiştirme [0.25 1]	0.714	0.823	HWLC-18 (0.6m)
Çözünürlük Değiştirme [0.25 0.5 1 1.25]	0.723	0.831	HWLC-18 (0.6m)
Çözünürlük Değiştirme [0.25 0.5 0.75 1]	0.724	0.833	HWLC-18 (0.6m)
Yöntem-2	0.695	0.809	HWLC-18 (0.6m)
Yöntem-3	0.730	0.836	HWLC-18 (0.6m)

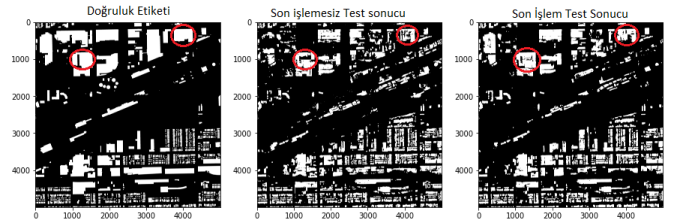


Fig. 7. Son-İşlem yöntemlerinin Etkisi

Yapılan deneylerde uydu görüntüsünün çözünürlüğünün hedef tespiti üzerinde etkisinin olduğunu görmekteyiz. Test görüntülerinin test zamanı sırasında çözünürlüğünün arttırılması, modelin eğitildiği çözünürlüğe yaklaştığı için tespit performansı artmıştır. Bu sebeple yapılan deneylerde Çözünürlük

Değiştirme yapmak genel olarak modellerin test performansını arttıracığı öngörülmektedir.

V. VARGI

Yapılan çalışmada 0.6 ve 2.4 metre çözünürlükteki HWLC-16 ve HWLC-18 verisetleriyle eğitilmiş modeller, INRIA veri kümesi Chicago bölgesinde test edilmiştir. Çalışmalarımızdan çıkardığımız sonuç itibarıyla U-Net++ modeli VGG-16 öznitelik çıkarıcı ile en iyi sonuçları vermektedir. U-Net++ modelinin DeepLabV3 modeliyle yapılmış bütün test performanslarının üzerinde olduğu görülmektedir. Buradan çıkarılabilecek sonuçlardan biri DeepLabV3+ yönteminde yapılan delikli evrişim işleminin model derinliğini azaltması sebebiyle yeterince öğrenilemediğini ve özniteliklerin çıkarılmadığını düşündürmektedir.

Bunun yanı sıra, son-işlem yöntemleri ile test zamanında veri arttırımı sağlanarak çoklu test yapılmış, ve sonuçların %3 seviyesinde artış göstermiştir. DeepLabV3 yöntemi üzerinde ResNet-18, ResNet34 ve ResNet-50 ile yapılan deneylerde Resnet-18 modelinin en iyi sonuç verdiği görülmüş, bunun sebebinin öznitelik çıkarıcılar arasında alıcı alanı (receptive field) daha düşük olan versiyonun daha iyi performans verdiği görülmüştür. Keza VGG-16 yönteminin de alıcı alanı diğer EfficientNet ve ResNet mimarilerine göre daha düşük olduğu düşünülürse tutarlı olduğu görülmektedir. Bu çalışmada edinilen bir diğer önemli edinim, bina segmentasyonunda etkili kayıp fonksiyonu karşılaştırma deneyleridir. Bu deneylerde görüldüğü üzere ağırlıklandırılmış *dice* kaybı diğer kayıp fonksiyonundan daha çok katkı sağlamıştır.

Uydu görüntülerinden bina ve obje tespitindeki en büyük zorluklardan biri farklı yakınlık seviyesindeki veri kümeleridir. Bu çalışmada hem Seviye-16 hem de Seviye-18 verileri ile eğitilmiş modeller yaklaşık olarak Seviye-15 yakınlığındaki farklı bir bölgede test edilmiştir. Modellerin performanslarında düşüş olmasına rağmen tatmin edici sonuçlar verdiği görülmektedir. Özellikle yakınlık seviyesi daha makul veri kümeleriyle eğitim yapmanın önemi buradan da görmüş bulunmaktayız.

Son olarak son-işlem testlerinde en faydalı yöntemin boyut arttırıp azaltmak olduğunu görülmüştür. Çözünürlük farklılıklarının da bulunması sebebiyle böyle durumlarda hem eğitim sırasında hem de sonrasında test görüntüsü çözünürlüğünün değiştirilmesi test sonuçlarına olumlu katkı sağlayabileceği düşünülmektedir.

KAYNAKÇA

- [1] E. Maggiori, Y. Tarabalka, G. Charpiat, and P. Alliez, "The inria aerial image labeling benchmark," in *IEEE International Geoscience and Remote Sensing Symposium (IGARSS)*. IEEE, 2017.
- [2] G. Druck, B. Settles, and A. McCallum, "Active learning by labeling features," in *Conference on Empirical Methods in Natural Language Processing*, Aug. 2009, pp. 81–90.
- [3] J. Long, E. Shelhamer, and T. Darrell, "Fully convolutional networks for semantic segmentation," in *Proceedings of the IEEE conference on computer vision and pattern recognition*, 2015, pp. 3431–3440.
- [4] O. Ronneberger, P. Fischer, and T. Brox, "U-net: Convolutional networks for biomedical image segmentation," in *MICCAI2015*. Springer, 2015.
- [5] Z. Zhou, M. M. Rahman Siddiquee, N. Tajbakhsh, and J. Liang, "Unet++: A nested u-net architecture for medical image segmentation," in *Deep learning in medical image analysis and multimodal learning for clinical decision support*. Springer, 2018, pp. 3–11.
- [6] L.-C. Chen, G. Papandreou, I. Kokkinos, K. Murphy, and A. L. Yuille, "Semantic image segmentation with deep convolutional nets and fully connected crfs," *arXiv preprint arXiv:1412.7062*, 2014.
- [7] L.-C. Chen, G. Papandreou, I. Kokkinos, and K. Murphy, "Deeplab: Semantic image segmentation with deep convolutional nets, atrous convolution, and fully connected crfs," *IEEE transactions on PAMI*, vol. 40, no. 4, pp. 834–848, 2017.
- [8] L.-C. Chen, G. Papandreou, F. Schroff, and H. Adam, "Rethinking atrous convolution for semantic image segmentation," *arXiv preprint arXiv:1706.05587*, 2017.
- [9] L.-C. Chen, Y. Zhu, G. Papandreou, F. Schroff, and H. Adam, "Encoder-decoder with atrous separable convolution for semantic image segmentation," in *ECCV*, 2018, pp. 801–818.
- [10] Z. Li and J. Dong, "A framework integrating deeplabv3+, transfer learning, active learning, and incremental learning for mapping building footprints," *Remote Sensing*, vol. 14, no. 19, 2022. [Online]. Available: <https://www.mdpi.com/2072-4292/14/19/4738>
- [11] M. Vakalopoulou, K. Karantzas, N. Komodakis, and N. Paragios, "Building detection in very high resolution multispectral data with deep learning features," in *Geoscience and Remote Sensing Symposium (IGARSS), 2015 IEEE International*, ser. 2015 IEEE International Geoscience and Remote Sensing Symposium (IGARSS), Milan, Italy, Jul. 2015, pp. 1873–1876. [Online]. Available: <https://hal.archives-ouvertes.fr/hal-01264084>
- [12] A. Krizhevsky, "One weird trick for parallelizing convolutional neural networks," *CoRR*, vol. abs/1404.5997, 2014. [Online]. Available: <http://arxiv.org/abs/1404.5997>
- [13] C. Cortes and V. Vapnik, "Support-vector networks," *Machine learning*, vol. 20, no. 3, pp. 273–297, 1995.
- [14] H. Yang, P. Wu, X. Yao, Y. Wu, B. Wang, and Y. Xu, "Building extraction in very high resolution imagery by dense-attention networks," *Remote Sensing*, vol. 10, no. 11, 2018. [Online]. Available: <https://www.mdpi.com/2072-4292/10/11/1768>
- [15] K. Bittner, F. Adam, S. Cui, M. Körner, and P. Reinartz, "Building footprint extraction from vhr remote sensing images combined with normalized dsms using fused fully convolutional networks," *IEEE Journal of Selected Topics in Applied Earth Observations and Remote Sensing*, vol. 11, no. 8, pp. 2615–2629, 2018.
- [16] A. Marcu, D. Costea, E. Slusanschi, and M. Leordeanu, "A multi-stage multi-task neural network for aerial scene interpretation and geolocalization," *CoRR*, vol. abs/1804.01322, 2018. [Online]. Available: <http://arxiv.org/abs/1804.01322>
- [17] J. Hu, L. Li, Y. Lin, F. Wu, and J. Zhao, "A comparison and strategy of semantic segmentation on remote sensing images," in *Advances in Natural Computation, Fuzzy Systems and Knowledge Discovery*. Springer International Publishing, nov 2019, pp. 21–29.
- [18] Y. Yi, Z. Zhang, W. Zhang, C. Zhang, W. Li, and T. Zhao, "Semantic segmentation of urban buildings from vhr remote sensing imagery using a deep convolutional neural network," *Remote Sensing*, vol. 11, no. 15, 2019. [Online]. Available: <https://www.mdpi.com/2072-4292/11/15/1774>
- [19] F. Erdem and U. Avdan, "Comparison of different u-net models for building extraction from high-resolution aerial imagery," *International Journal of Environment and Geoinformatics*, vol. 7, pp. 221–227, 09 2020.
- [20] W. Alsabhan, T. Alotaiby, and B. Dudin, "Detecting buildings and non-buildings from satellite images using u-net," *Computational Intelligence and Neuroscience*, vol. 2022, pp. 1–13, 05 2022.
- [21] H. Noh, S. Hong, and B. Han, "Learning deconvolution network for semantic segmentation," *CoRR*, vol. abs/1505.04366, 2015. [Online]. Available: <http://arxiv.org/abs/1505.04366>
- [22] V. Badrinarayanan, A. Kendall, and R. Cipolla, "Segnet: A deep convolutional encoder-decoder architecture for image segmentation," *CoRR*, vol. abs/1511.00561, 2015. [Online]. Available: <http://arxiv.org/abs/1511.00561>
- [23] S. Wangiyana, P. Samczyński, and A. Gromek, "Data augmentation for building footprint segmentation in sar images: An empirical study," *Remote Sensing*, vol. 14, no. 9, 2022. [Online]. Available: <https://www.mdpi.com/2072-4292/14/9/2012>

- [24] S. Illarionova, S. Nesteruk, D. Shadrin, V. Ignatiev, M. Pukalchik, and I. Oseledets, "Object-based augmentation for building semantic segmentation: Ventura and santa rosa case study," in *2021 IEEE/CVF International Conference on Computer Vision Workshops (ICCVW)*, 2021, pp. 1659–1668.
- [25] J. Li, X. Huang, L. Tu, T. Zhang, and L. Wang, "A review of building detection from very high resolution optical remote sensing images," *GIScience & Remote Sensing*, vol. 59, no. 1, pp. 1199–1225, 2022. [Online]. Available: <https://doi.org/10.1080/15481603.2022.2101727>
- [26] X. Huang, W. Yuan, J. Li, and L. Zhang, "A new building extraction postprocessing framework for high-spatial-resolution remote-sensing imagery," *IEEE Journal of Selected Topics in Applied Earth Observations and Remote Sensing*, vol. 10, no. 2, pp. 654–668, 2017.
- [27] A. A. Kindirođlu, M. Yalçın, F. B. Bađci, U. Uyan, and M. U. Öztürk, "Transfer learning for land cover semantic segmentation," in *2022 7th International Conference on Computer Science and Engineering (UBMK)*, 2022, pp. 438–443.
- [28] S. Liu and W. Deng, "Very deep convolutional neural network based image classification using small training sample size," in *2015 3rd IAPR Asian Conference on Pattern Recognition (ACPR)*, 2015, pp. 730–734.
- [29] M. Tan and Q. Le, "EfficientNet: Rethinking model scaling for convolutional neural networks," in *Proceedings of the 36th International Conference on Machine Learning*, ser. Proceedings of Machine Learning Research, K. Chaudhuri and R. Salakhutdinov, Eds., vol. 97. PMLR, 09–15 Jun 2019, pp. 6105–6114. [Online]. Available: <https://proceedings.mlr.press/v97/tan19a.html>
- [30] K. He, X. Zhang, S. Ren, and J. Sun, "Deep residual learning for image recognition," in *2016 IEEE Conference on Computer Vision and Pattern Recognition (CVPR)*, 2016, pp. 770–778.
- [31] A. G. Howard, M. Zhu, B. Chen, D. Kalenichenko, W. Wang, T. Weyand, M. Andreetto, and H. Adam, "Mobilenets: Efficient convolutional neural networks for mobile vision applications," *CoRR*, vol. abs/1704.04861, 2017. [Online]. Available: <http://arxiv.org/abs/1704.04861>
- [32] J. Deng, W. Dong, R. Socher, L.-J. Li, K. Li, and L. Fei-Fei, "Imagenet: A large-scale hierarchical image database," in *2009 IEEE Conference on Computer Vision and Pattern Recognition*, 2009, pp. 248–255.
- [33] E. D. Cubuk, B. Zoph, J. Shlens, and Q. V. Le, "Randaugment: Practical automated data augmentation with a reduced search space," in *CVPRW*, 2020, pp. 702–703.
- [34] A. Buslaev, V. I. Iglovikov, E. Khvedchenya, A. Parinov, M. Druzhinin, and A. A. Kalinin, "Albumentations: Fast and flexible image augmentations," *Information*, vol. 11, no. 2, 2020. [Online]. Available: <https://www.mdpi.com/2078-2489/11/2/125>
- [35] S. S. M. Salehi, D. Erdogmus, and A. Gholipour, "Tversky loss function for image segmentation using 3d fully convolutional deep networks," *CoRR*, vol. abs/1706.05721, 2017. [Online]. Available: <http://arxiv.org/abs/1706.05721>
- [36] N. Abraham and N. M. Khan, "A novel focal tversky loss function with improved attention u-net for lesion segmentation," *CoRR*, vol. abs/1810.07842, 2018. [Online]. Available: <http://arxiv.org/abs/1810.07842>
- [37] D. P. Kingma and J. Ba, "Adam: A method for stochastic optimization," 2014, cite arXiv:1412.6980Comment: Published as a conference paper at the 3rd International Conference for Learning Representations, San Diego, 2015. [Online]. Available: <http://arxiv.org/abs/1412.6980>